Untersuchungen zur Morphologie und Systematik der Erysiphaceen II. Der Eichenmehltau. Microsphaera alphitoides Griff. et Maubl

Von Eberhard O. Speer

(Biologische Bundesanstalt für Land- und Forstwirtschaft, Institut für Forstpflanzenkrankheiten*), Hann. Münden)

Summary

Anatomical and morphological studies on *M. alphitoides* Griff. et. Maubl. and *M. hypophylla* Nevodovskij have shown that the different conditions on the upper and lower surfaces of the host leaves provoke a different development of the fungus. Additional parallel studies on other species aided by a new experimental method have proved that *M. hypophylla* Nevodovskij is merely a synonym for *M. alphitoides* Griff. et Maubl.

Vorbermerkung

Vom ersten Jahrzehnt unseres Jahrhunderts an begann sich bekanntlich ein Mehltau auf Eichen in wenigen Jahren über ganz Europa auszubreiten. Die Hauptfruchtform des Pilzes wurde 1910 gefunden und von Griffon und Maublanc (1912) unter dem Namen Microsphaera alphitoides erstmals beschrieben. In der Folgezeit wurde der Parasit von zahlreichen Mykologen in weit über hundert wissenschaftlichen Arbeiten untersucht. Es überrascht, daß die Beobachtungen der einzelnen Autoren oft stark voneinander abweichen. Die Angaben Blumers von 1933 und 1967 stimmen weder miteinander noch mit der Originalbeschreibung völlig überein. Beobachtungen anderer Autoren zeigen noch größere Divergenz: 1924 berichtet Buchheim von Perithezien mit einem mittleren Durchmesser von 126 μ ; in England wurden von Robertson und Macfarlane (1946) Perithezien von 180–200 μ gefunden.

Schon von 1925 an stellte Buchheim (1928) in Rußland wiederholt fest, daß ein Großteil der erkrankten Eichenblätter weniger oberseits —

^{*)} Herrn Prof. Dr. Heinz Butin und allen Mitgliedern des von ihm geleiteten Instituts danke ich für die gute wissenschaftliche und technische Zusammenarbeit. Ebenso danke ich den Herren Dr. S. Blumer, Wädenswil, Dr. W. Brandenburger, Bonn, und Dr. Müller, Zürich, für wertvolle Hinweise zum behandelten Thema bzw. für Literatur- und Vergleichsmaterial.

Der Deutschen Forschungsgemeinschaft, die das Vorhaben finanzierte, bin ich zu Dank verpflichtet.

wie es der Originalbeschreibung entsprochen hätte – als besonders unterseits befallen war. Auch Nevodovskij (1952) fand in der Umgebung von Moskau den Pilz hauptsächlich auf der Blattunterseite und nahm dies zum Anlaß, eine neue Art, Microsphaera hypophylla, zu beschreiben, wobei ihm der phytopathologische Aspekt wichtiger zu sein schien als der morphologische. Roll-Hansen (1961) emendierte Nevodovskijs lateinische Diagnose und stellte klar, daß die von Vlasov (1954) aufgestellte Microsphaera silvatica nom. nud. als ungültiges Synonym zu M. hypophylla zu betrachten ist.

Problemstellung Methode

Die Tatsache, daß sich die für die beiden Arten (Microsphaera alphitoides und M. hypophylla) angegebenen Zahlenwerte der systematischen Kriterien in allen Fällen überschneiden, ließ erneut Zweifel daran aufkommen, ob es sich wirklich um zwei verschiedene Spezies handle, oder nur um eine einzige Art, die auf die verschiedensten Umweltbedingungen mit sichtbaren Veränderungen reagiere.

Zur Klärung dieser Frage wurde frisches und getrocknetes Material aus verschiedenen Klimazonen Europas untersucht. Zum Vergleich wurden zusätzlich andere Mehltauarten herangezogen, um besonders feststellen zu können:

- ob es entsprechend der Schädigung der Eichenblätter durch den Eichenmehltau – ein ebenso heterogenes Krankheitsbild an Wirtspflanzen dieser Mehltaue gebe;
- 2. ob die Konidienform im bisher angenommenen Maße artkonstant ist;
- ob die Stärke der Blattepidermis für eine Mehltauanfälligkeit von Bedeutung sein könnte;
- ob sich die Fruchtkörper von Microsphaera-Arten im allgemeinen und der beiden vorausgesetzten Eichenmehltau-Arten im besonderen durch konstante anatomische Merkmale unterscheiden;
- ob im Experiment unter natürlichen Bedingungen die Vielgestaltigkeit der Anhängsel beim Eichenmehltau verschiedene Arten charakterisiere, oder lediglich bisher unberücksichtigte physikalische Einwirkungen zu erkennen gebe.

Zu diesem Zwecke wurden zur Zeit der ersten Primordien-Bildung befallene Eichenblätter derart um 180° gedreht, daß die auf der morphologischen Blattoberseite wachsenden Fruchtkörper gezwungen waren, sich auf der simulierten Blattunterseite zu entwickeln; in dieser Lage wurden die Blätter bis zur Sporenentwicklung um November mittels entsprechender Drahtkonstruktionen festgehalten.

Zur anatomischen Untersuchung der Fruchtkörper und der Differenzierung von Stütz- und Speichergeflecht, resp. Hymenium, wurden dieselben auf ihrer natürlichen Unterlage in einem Gemisch aus Anilinblau-Milchsäure und Sudan III-Aethanol gefärbt und anschließend mit dem

Gefriermikrotom längs-geschnitten und in Glyzerin oder Milchsäure eingebettet.

Die natürliche Lage der Asci und Ascosporen im Perithezium konnte durch Bleichen der meist stark pigmentierten Fruchtkörper in 20%igem H2O2, versetzt mit NaH2PO4+2H2O sichtbar gemacht werden (vgl. Speer 1961). Durch dieses Verfahren werden die Fruchtkörper völlig hyalin und unter dem Mikroskop in jeder optischen Ebene "durchschaubar" (vgl. Tafel I, Abb. a–c).

Eigene Ergebnisse und Beobachtungen

A. Das Krankheitsbild

Es können 4 wichtige Krankheitsbilder unterschieden werden:

- a) Dichtes Myzel überzieht meist junge Blätter auf beiden Seiten. Die Blätter werden deformiert, im Wachstum gehemmt, zeigen bald graubraune nekrotische Flecken und sterben schließlich ab.
- b) Dichtes Myzel bildet weiße Flecken auf der Oberseite ausgewachsener Blätter; Deformation findet selten statt. Begrenzte Stellen können absterben
- c) Das oberseitige Myzel formiert sich zu mehr oder weniger begrenzten Flecken; im weiteren Krankheitsverlauf wachsen einzelne Hyphen über diese Flecken hinaus, überwachsen den Blattrand und überziehen die Blattunterseite als feines Geflecht. Deformation ist selten zu beobachten
- d) Lockeres Myzel bildet auf der Unterseite der ausgewachsenen Blätter einen feinen, selten fleckigen Überzug; Blattdeformationen treten dabei sehr selten auf.

Ähnlich vielgestaltige Krankheitsbilder, für die nur ein einziger Erreger verantwortlich ist, können auch bei Mehltauerkrankungen anderer Pflanzen festgestellt werden, besonders bei Microsphaera viburni (Duby) Blumer auf Viburnum opulus L. und Microsphaera divaricata (Wallr. ex. Link) Lév. auf Frangula alnus Miller. Verantwortlich für Anfälligkeit und Krankheitsverlauf sind nicht nur die Konditionen, die der Pilz mitbringt, sondern auch der Widerstand, den die Wirtspflanze dem Eindringen der Haustorien entgegensetzt. In der Regel wird um den Infektionsporus, mit dem das Haustorium die äußere Epidermiswand durchsticht, eine zentripetale Wandverdickung gebildet (Tafel II, c). Dieser Kegel aus Wandsubstanz wird jedoch in den meisten Fällen vom Haustorium durchbrochen und kann somit die Infektion nur verzögern, nicht verhindern. Einen wirksameren Schutz scheint eine dickere Außenwand der Blattepidermiszellen zu bieten, die ich bei Quercus coccifera L. und Quercus ilex L. nachweisen konnte. Selbst in nächster Nähe von über und über befallenen Flaumeichen konnte ich auf Quercus coccifera nur äußerst selten, auf Q. ilex nie infizierte Blätter finden. Dies ist nicht erstaunlich, da ich für einen Befall eine bevorzugte Stärke der Epidermiszellenaußen-

Tabelle I

Nr.	Wirtspflanze	(Blätter)	Außenv	niszellen- vand in µ Unterseite		egrad * Unterseite	Pilz	$\operatorname{Herkunft}$
I	Quercus robur		4-5	2 - 3	4-5	I	Microsphaera alphitoides	Österreich
2	Quercus robur		3,5 - 6	+2,5	4	1	Microsphaera alphitoides	Niederösterreich
3	Quercus robur		5-7	$\bar{3} - 4$	3	2	Microsphaera alphitoides	Niederösterreich
4	Quercus robur		4 - 5	3 - 4	4 - 5	1	Microsphaera alphitoides	Niederösterreich
5	Quercus robur		4 - 7	3 - 4	4 - 5	3	Microsphaera alphitoides	Wienerwald
6	Quercus robur		6 - 8	3-5	2	2	Microsphaera alphitoides	Niederösterreich
7	Quercus robur		7 - 9	± 3	3	2	Microsphaera alphitoides	Wien
8	Quercus robur	jung	5 - 7	2 - 4	5	2	Microsphaera alphitoides	Niederösterreich
	Quercus robur	alt	5 - 7	2-4	2	0	Microsphaera alphitoides	Niederösterreich
9	Quercus robur	jung	5 - 7	2-3	2	0	Microsphaera alphitoides	Niederbayern
	Quercus robur	alt	5 - 7	2-3	0	1	Microsphaera alphitoides	Niederbayern
10	Quercus robur		4 - 6	2,5-3	2	2	Microsphaera alphitoides	Ober-Rhein
11	Quercus robur		4 - 5	2-3	2	4	Microsphaera alphitoides	Ober-Rhein
12	Quercus robur	jung	4 - 5	2-3	2	2	Microsphaera alphitoides	Ober-Rhein
	Quercus robur	alt	4 - 5	2-3	4	0	Microsphaera alphitoides	Ober-Rhein
13	Quercus robur	jung	5 - 7	3-4	4	2	Microspheraa alphitoides	Schwarzwald
	Quercus robur	alt	5 - 7	3 - 4	4 - 5	1	Microsphaera alphitoides	Schwarzwald
14	Quercus robur	jung	4 - 7	2 - 4	4 - 5	4 - 5	Microsphaera alphitoides	Schwarzwald
	Quercus robur	alt	4 - 7	2-4	4	4 - 5	Microsphaera alphitoides	Schwarzwald
15	Quercus robur		6 - 8	3-4	4	2	Microsphaera alphitoides	Schwarzwald
16	Quercus robur		5 - 8	+2	4	3	Microsphaera alphitoides	Schwarzwald
17	Quercus robur		2,5-4	1-2	4	3	Microsphaera alphitoides	Schwarzwald
18	Quercus robur		± 5	$\pm 2,5$	5	3	Microsphaera alphitoides	Schwarzwald
19	Quercus robur		4 - 6	± 2	2	1	Microsphaera alphitoides	Schwarzwald
20	Quercus robur		± 5	2-3	4	3	$Microsphaera\ alphitoides$	Schwarzwald

* Befall von 1 nach 5 zunehmend

Nr. Wirtspflanze		(Blätter)	Außenv	miszellen- wand in μ e Unterseite		sgrad * Unterseite	Pilz	Herkunft
21	Quercus robur		+5	+2	4	5	Microsphaera alphitoides	Schwarzwald
22	Quercus robur		5 - 7	3 - 4	4	3	Microsphaera alphitoides	Schwarzwald
23	Quercus robur		± 2	+1.5	2	2	Microsphaera alphitoides	Schwarzwald
24	Quercus robur		5 - 7	$\overline{3}-5$	4	3	Microsphaera alphitoides	Schwarzwald
25	Quercus robur		4 - 5	2 - 3	0	3	Microsphaera alphitoides	Oberlausitz
26	Quercus robur		4 - 5	2-3	5	3	Microsphaera alphitoides	Hessen
27	Quercus robur		5 - 7	+2	4	3	Microsphaera alphitoides	Hessen
28	Quercus robur		3 - 6	2 - 3	4	2	Microsphaera alphitoides	Hessen
29	Quercus robur		$+^{2}5$	+3	5	2	Microsphaera alphitoides	Sussex
30	Quercus robur		+6	+3	3	2	Microsphaera alphitoides	Warwickshire
31	Quercus robur		3 - 5	2 - 3	2	1	Microsphaera alphitoides	Warwickshire
32	Quercus robur		+5	2-3	2	5	Microsphaera alphitoides	Schweiz
33	Quercus robur		$\frac{1}{3} - 5$	± 2	3	2	Microsphaera alphitoides	Schweiz
34	Quercus robur		2 - 4	$\overline{1-2}$	3	2	Microsphaera alphitoides	Schweiz
35	Quercus robur	jung	4 - 5	2 - 2.5	2	2	Microsphaera alphitoides	Schweiz
	Quercus robur	alt	4 - 5	2 - 2.5	1	3	Microsphaera alphitoides	Schweiz
36	Quercus robur		+5	+3	0	4	Microsphaera alphitoides	Schweiz
37	Quercus robur		$\frac{1}{5} - 7$	2 - 4	1	5	Microsphaera alphitoides	Schweiz
38	Quercus robur		± 7	2.5 - 3	2	5	Microsphaera alphitoides	Schweiz
39	Quercus robur		5 - 6	2 - 3	2	5	Microsphaera alphitoides	Polen
10	Quercus robur		± 2	± 1	5	3	Microsphaera alphitoides	Polen
11	Quercus robur		2-4	$\frac{1}{3} - 6$	5	1	Microsphaera alphitoides	Litauen
12	Quercus robur		4-5	2 - 2.5	1	4	Microsphaera alphitoides	Norwegen
13	Quercus robur		$^{2}-^{3}$	3-5	5	2	Microsphaera alphitoides	Finnland
14	Quercus robur		5-7	4 - 6	1	5	Microsphaera alphitoides	Finnland
15	Quercus robur		4-5	± 2	3	3	Microsphaera alphitoides	Finnland
16	Quercus robur		± 3	$\pm \frac{1}{2}$	5	ĭ	Microsphaera alphitoides	Karelien
17	Quercus petrae	a	± 5	± 3	3	î	Microsphaera alphitoides	Ile de France
18	Quercus petrae		5-7	4-5	3	î	Microsphaera alphitoides	Ile de France

©Verlag Ferdinand Berger & Söhne Ges.m.b.H., Horn, Austria, download unter www.biologiezentrum.at

49	Quercus robur		5 - 6	2 - 4	4	1	$Microsphaera\ alphitoides$	Lothringen
50	Quercus robur		4 - 5	2-3	3	2	Microsphaera alphitoides	Lothringen
51	Quercus pubescens		3 - 3.5	1-2	4	2	Microsphaera alphitoides	Korsika
52	Quercus ilex	jung	13 - 18	12 - 16	0	0	Microsphaera alphitoides	Korsika
	Quercus ilex	alt	15 - 22	8 - 13	0	0	Microsphaera alphitoides	Korsika
53	Quercus coccifera	jung	12 - 14	6 - 10	1	1	Microsphaera alphitoides	Korsika
54	Quercus pubescens	. 0	5 - 7	4 - 6	4	2	Microsphaera alphitoides	Sardinien
55	Quercus pubescens		4 - 6	2-3	4	2	Microsphaera alphitoides	Umbrien
56	Quercus robur		6 - 8	3-5	3	2	Microsphaera alphitoides	Slavonien
57	Quercus pubescens		2 - 4	1-2	5	2	Microsphaera alphitoides	Ungarn
58	Quercus pubescens		4 - 6	3 - 4	4	3	Microsphaera alphitoides	Ungarn
59	Quercus robur		4 - 6	3 - 4	1	5	Microsphaera alphitoides	Rumänien
60	Viburnum opulus		5 - 8	3-5	1	5	Microsphaera viburni	Steiermark
61	Viburnum tinus		± 5	3-5	4	4	Microsphaera viburni	Paris
62	Viburnum lantana		+5	3-5	3	3	Microsphaera Hedwigii	Schwarzwald
63	Berberis vulgaris		4 - 5	4 - 5	3	1	Microsphaera berberidis	Wien
64	Euonymus europaeus		3 - 4	2-3	1	5	Microsphaera euonymi	Niederösterreich
65	Euonymus europaeus		5 - 7	4 - 5	3	5	Microsphaera euonymi	Schwarzwald
66	Acer platanoides	jung	± 5	3 - 4	2	0	Uncinula Tulasnei	Wien
	Acer platanoides	alt	7 - 8	4 - 5	0	2	Uncinula Tulasnei	Wien
67	Acer pseudoplatanus	jung	3 - 4	+1.5	5	4	Uncinula bicornis	Niederösterreich
	Acer pseudoplatanus	alt	3 - 4	± 2	3	5	Uncinula bicornis	Niederösterreich
68	Sorbus aucuparia		± 4	± 3	2	3		Schwarzwald
69	Berberis aquifolium		3 - 4	2 - 3	2	4	Oidium sp.	Wien

^{*} Befall von 1 nach 5 zunehmend

wand von $3-6\,\mu$ für die Blattoberseite und von $2,5-5\,\mu$ für die Blattunterseite berechnen konnte (vgl. Tabelle I). Die breite Streuung kann u. a. auf individuelle physiologische Disposition der Wirtspflanzen, besonders aber auf Witterungseinflüsse zurückgeführt werden, wofür die Beobachtung spricht, daß auf Blättern, die ursprünglich z. T. stark befallen waren, im Laufe einer mehrwöchigen Regenperiode das oberseitige Myzel samt Fruchtkörpern in der Entwicklung nicht nur stark gehemmt, sondern oft weitgehend abgestorben war, wohingegen auf den künstlich nach unten gedrehten Blattoberseiten die Entwicklung des Pilzes meist bis zur Sporenbildung weitergegangen war.

B. Die Nebenfruchtform

Die Konidienträger könnten von unterschiedlicher Länge sein; diese schwankt zwischen 60 und $200\,\mu$ und ist in ein und demselben Konidienrasen in den seltensten Fällen konstant.

Die Konidien, deren Gestalt bisher als systematisch signifikant angesehen wurde, zeigten sich ebenfalls als sehr variable Gebilde: alle Möglichkeiten und Übergänge zwischen ellipsoidisch und zylindrisch können in einem Konidienrasen vorkommen. In der Regel ist die Primärkonidie ellipsoidisch, die Folgekonidien sind tonnenförmig bis zylindrisch mit abgerundeten Enden. Die in großer Zahl gebildeten Konidien bleiben auf Blattoberseiten oft als mehlige Masse liegen und bestehen zu einem großen Teil aus Primärkonidien. Von den Blattunterseiten abgeschnürte Konidien werden leichter vom Luftstrom fortgetragen, so daß man dort zumal die Infektion hier erst zur Zeit der Perithezienbildung ins Auge sticht – häufiger die letzten, meist zylindrischen Folgekonidien findet. Dies mag für die abweichenden Maße der auf den Blattunterseiten gewachsenen Konidien mitverantwortlich sein (vgl. Tabelle II).

C. Die Hauptfruchtform

Grundsätzlich konnte für Mehltaupilze festgestellt werden, daß dichtes Myzel die Entwicklung nahe beieinanderstehender Fruchtkörper in großer Zahl ermöglicht. Hingegen bildet lockeres Myzel dementsprechend zerstreut liegende Fruchtkörper.

Nachdem sich an Fruchtkörper-Längsschnitten gezeigt hatte, daß sich die Gattungen der Erysiphaceen anatomisch unterscheiden lassen (vgl. Speer, im Druck), wurde untersucht, ob sich die Fruchtkörper nahe verwandter Arten einer Gattung nach ihrem anatomischen Bau trennen ließen. Zu diesem Zweck wurden zwei Microsphaera alphitoides Griff. et Maubl. nahestehende Arten, Microsphaera viburni (Duby) Blumer und Microsphaera divaricata (Wallr. ex Link) Lév. mit dieser und untereinander verglichen:

Bei M. viburni ist der Atrosklerocortex in der Regel dreischichtig und durchgehend gleichmäßig pigmentiert; hingegen ist beim durchschnittlich

Nr.	Pilz	Konidienmaße in μ dominanter Wert in Klammern	Blattseite	Wirtspflanze	Herkunft
1	Microsphaera alphitoides	$28 - 37 \times 14 - 17 \ (31 \times 16)$	oben	Quercus robur	Marchfeld
2	Microsphaera alphitoides	$28 - 36 \times 14 - 17 \ (30 \times 14)$	oben	Quercus robur	Wienerwald
3	$Microsphaera\ alphitoides$	$27 - 40 \times 15 - 21 \ (34 \times 16)$	oben	Quercus robur	Schwarzwald
4	$Microsphaera\ alphitoides$	$24 - 34 \times 12 - 20 \ (29 \times 15)$	oben	Quercus robur	Schwarzwald
5	Microsphaera alphitoides	$25 - 35 \times 12 - 17$	oben	Quercus robur	Schwarzwald
6	$Microsphaera\ alphitoides$	$26 - 33 \times 18 - 19 \ (31 \times 18, 5)$	oben	Quercus robur	Schwarzwald
7	Microsphaera alphitoides	$23 - 31 \times 16 - 20 \ (27 \times 18)$	oben	Quercus robur	Schwarzwald
8	Microsphaera alphitoides	$24 - 33 \times 14 - 18$	oben	Quercus robur	Schwarzwald
9	$Microsphaera\ alphitoides$	$27 - 40 \times 14 - 23$	oben	Quercus robur	Schwarzwald
10	$Microsphaera\ alphitoides$	$\int 27 - 36 \times 10 - 15$	oben	Quercus robur	Schwarzwald
	$Microsphaera\ alphitoides$	$(27-42 \times 14-20)$	unten	Quercus robur	Schwarzwald
11	Microsphaera alphitoides	$(27-35\times14-18)$	oben	Quercus robur	Schwarzwald
	Microsphaera alphitoides	$130-40 \times 14-17$	unten	Quercus robur	Schwarzwald
12	Microsphaera alphitoides	$28 - 35 \times 16 - 22 \ (32 \times 19)$	unten	Quercus robur	Schwarzwald
13	Microsphaera alphitoides	$32 - 39 \times 14 - 16$	oben	Quercus robur	Ober-Rhein
14	Microsphaera alphitoides	$28 - 36 \times 15 - 23 \ (34 \times 18)$	oben	Quercus robur	Hessen
15	Microsphaera alphitoides	$(28-38\times14-21)$	oben	Quercus robur	Sussex
	Microsphaera alphitoides	$(27 - 31 \times 15 - 17)$	unten	Quercus robur	Sussex
16	Microsphaera alphitoides	$27 - 31 \times 15 - 17$	unten	Quercus robur	Sussex
17	Microsphaera alphitoides	(30×18)	oben	Quercus robur	Finnland
	Microsphaera alphitoides	$31 - 35 \times 13 - 20$	unten	Quercus robur	Finnland
18	Microsphaera alphitoides	$30 - 39 \times 17 - 22 \ (30 \times 17,5)$	oben	Quercus robur	Karelien
19	Microsphaera alphitoides	$26 - 31 \times 16 - 18$	unten	Quercus robur	Polen
20	Microsphaera alphitoides	$25 - 38 \times 16 - 19 (33 \times 18)$	oben	Quercus petraea	Ile de France
21	Microsphaera alphitoides	$34 - 40 \times 16 - 18$	unten	Quercus petraea	Ile de France
22	Microsphaera alphitoides	$28 - 38 \times 17 - 19$	oben	Quercus coccifera	Korsika
23	Microsphaera alphitoides	$28 - 39 \times 17 - 20$	oben	Quercus pubescens	Sardinien
24	Microsphaera alphitoides	$25 - 34 \times 15 - 19$	oben	Quercus pubescens	Umbrien
25	Microsphaera alphitoides	$35 - 48 \times 15 - 16$	unten	Quercus robur	$0 \mathrm{morien}$ $\mathrm{Bukares} t$
	Microsphaera alphitoides	$27 - 36 \times 14 - 16$	unten	Quercus robur	Schweiz

Tabelle III

Nr.	Peritheziendurchmesser in μ *	Anzahl	Pilz Anhängsel Länge in μ	Ver- zwei- gung
1 Microsphaera alphitoides	82-110 (93)	2-10	± 100	6
2 Microsphaera alphitoides	90-142 (100; 120)	8-28	70-160 (110)	6 (4-5)
3 Microsphaera alphitoides	74-125 (104)	6 - 17	70-160 (100)	6 (5)
4 Microsphaera alphitoides	105-137 (110)	14 - 28	80-130 (100)	4 (4)
5 Microsphaera alphitoides	95-125 (115)	8 - 30	70-130 (100)	4 (4-5)
6 Microsphaera alphitoides	83-128 (99)	7-24	90-240 (160)	(6)
7 Microsphaera alphitoides	78-118 (92)	8 - 21	70-150 (110)	(5)
8 Microsphaera alphitoides	85-135 (120)	10 - 30	70 - 200 (150)	7 (6)
9 Microsphaera alphitoides	88-135 (118)	6 - 21	65-125 (90)	6 (5)
10 Microsphaera alphitoides		1-10 (MW 6,1) 3-12 (MW 7,5)		6 (5) 7 (6)
11 Microsphaera alphitoides	88-140 (MW 113,1)	11 - 20	20—200 (MW 119)	7 (4-6) 8 (7)
12 Microsphaera divaricata			MW 271 MW 346	5 7
13 Microsphaera divaricata			MW 190 MW 342	5 6
14 Microsphaera divaricata			$\begin{array}{c} \mathrm{MW}245\\ \mathrm{MW}294 \end{array}$	5 6
15 Microsphaera Friesii			50-110 (75.MW 72) 60-100 (90.MW 86)	
16 Microsphaera alphitoides		2-10 (MW 6)	MW 85,4	6 (5)
p.		3 - 14 (MW 7,5)	MW 98,2	5 (5)

^{*} dominante Werte in Klammern

MW = Mittelwert

O = Blattoberseite

U = Blattunterseite

n = normale Blattstellung

g = Blatt um 180° gedreht

Tabelle III (Fortsetzung)

Nr. de	Perithezien- urchmesser in μ *	Anzahl	Pilz Anhängsel Länge in μ	Ver- zwei- gung
17 Microsphaera alphitoides	MW 111,2		MW 90,9	6 (6)
	MW 98.2		MW 98,7	7 (6)
	+100		MW 75	2
18 Microsphaera alphitoides	± 120	8 - 15	MW 80	4
ar provide cases	MW 104,2	12 - 21	MW 88,3	7 (6)
19 Microsphaera	MW 99,5	3 - 18	MW 76,8	6 (4)
alphitoides	MW 106	9 - 22	MW 91	7 (6)
arprovo	MW 103,4	6 - 20	MW 82,6	6 (6)
20 Microsphaera alphitoides	MW 98,9	MW 11,4	MW 73,5	6 (5)
au privide vario	MW 111,9	MW11,7	$MW109,\!4$	7 (6)
21 Microsphaera	MW 100	7 - 18	MW 71.5	4
alphitoides	MW 118	8-19	MW 106,3	8 (6)
arpretestates	MW 96,6	9 - 12	MW 91,9	7 (6)
22 Microsphaera alphitoides	MW 115,5	10 - 15	MW 90	6 (3)
1	MW 116,7	9 - 16	MW 99,8	6 (6)

dominante Werte in Klammern

W = Mittelwert

⁼ Blattoberseite

⁼ Blattunterseite

⁼ normale Blattstellung

⁼ Blatt um 180° gedreht

Gestalt	Bef. grad	Blatt- seite	Blatt- stellung	Wirtspflanze	Herkunft
oft gestaucht, verkrümmt dem Blatt anliegend	3 1	O U	n	Quercus robur	Bayern
oft gestaucht, verkrümmt dem Blatt anliegend	$\frac{5}{2}$	O U	n	Quercus robur	Litauen
oft gestaucht, verkrümmt dem Blatt anliegend	5 2	O U	n	Quercus robur	Finnland
oft gestaucht, verkrümmt dem Blatt anliegend	5 1	O U	n	Quercus robur	Karelien
oft gestaucht, verkrümmt dem Blatt anliegend	5 1	O U	n	Quercus pubescens	Ungarn
bogenförmig abstehend	1 5	O U	n	Quercus robur	Schweiz
bogenförmig abstehend	1 5	O U	n	Quercus robur	Rumänien
bogenförmig abstehend	1 5	O	n	$Quercus\ robur$	Finnland
oft gestaucht, verkrümmt dem Blatt anliegend bogenförmig abstehend	$\frac{3}{4}$	O U	n	Quercus robur	Finnland
oft gestaucht, verkrümmt bogenförmig abstehend	5 5	O U	n	Quercus petraea	Kaiserstuhl
anliegend, verkrümmt bogenförmig abstehend	$\begin{array}{c} 0-2 \\ 5 \end{array}$	O U	n	Quercus robur	Norwegen
oft verkrümmt, anliegend gerade, abstehend	5 4	O U	n	Frangula alnus	Niedersachsen
oft verkrümmt, anliegend gerade, abstehend	5 5	O U	n	Frangula alnus	Niedersachsen
oft verkrümmt, anliegend gerade, abstehend	4 5	O U	n	$Frangula\ alnus$	Niedersachsen
gestaucht, verkrümmt anliegend	4	О	n	$Rhamnus\ cathartica$	Niederösterreic
glatt, bogenförmig abstehend	4	U			
meist verkrümmt, anliegend	3 1	O U	n	$Quercus\ robur$	Niedersachsen

Gestalt	Bef. grad	Blatt- seite	Blatt- stellung	Wirtspflanze	Herkunft
gerade oder bogenförmig	4	O U	g	Quercus robur	Niedersachsen
dem Blatt anliegend abstehend	2_4	O	n	Quercus robur	Niedersachsen
abstehend anliegend verkrümmt	5 1	O	g	Quercus robur	Niedersachsen
anliegend	$\frac{2}{2}$	O U	n	Quercus robur	Niedersachsen
\pm abstehend	5 1	U	g	Quercus robur	Niedersachsen
gestaucht, anliegend gerade abstehend	$\frac{3}{4}$	O U	n	Quercus robur	Niedersachsen
abstehend	4	U	g	Quercus robur	Niedersachsen
anliegend, gestaucht	$\frac{2}{2}$	O .	n	Quercus robur	Niedersachsen
bogenförmig abstehend	3 1	U	g	Quercus robur	Niedersachsen
anliegend meist abstehend	$\frac{2}{3}$	O	n	Quercus robur	Niedersachsen
meist abstehend	4 1	$_{\rm O}$	g	Quercus robur	Niedersachsen
anliegend	$\frac{2}{2}$	O	n	Quercus robur	Niedersachsen
starr abstehend	$\frac{4}{3}$	U	g	Quercus robur	Niedersachsen

vierschichtigen Kortex von *M. divaricata* ein deutlicher, schwach gefärbter Epicortex zu unterscheiden (Tafel II, a, b). Während sich die beiden Arten somit deutlich voneinander trennen lassen, gibt es im anatomischen Bau von *M. alphitoides* und *M. hypophylla* keine Unterschiede, die auf zwei verschiedene Arten schließen lassen; bei beiden ist der Atrosklerocrtex meistens vier- bis fünfschichtig und seine äußere Schicht stellt einen schwächer pigmentierten, zartwandigen Epicortex dar (Tafel III).

Da sich genannte Autoren bei der Abtrennung der Art M. hypophylla in erster Linie auf die unterschiedliche Länge, Verzweigungsvielfalt und Gestalt der bei beiden etwas über der Mitte entspringenden Anhängsel stützen, richtete ich mein Augenmerk besonders auf diese Kriterien. Und ich kann bestätigen, daß die Anhängsel der auf der Blattunterseite gewachsenen Fruchtkörper meist zahlreicher, länger und stärker verzweigt waren, als die auf Blattoberseiten gewachsenen (vgl. Tafel III). Nach Blumer (1967) sind die Anhängsel von M. alphitoides meist dem Blatt anliegend, jene von M. hypophylla bogenförmig aufsteigend. In Wirklichkeit hängen sie aber bogenförmig herab, bezogen auf ihre wirkliche Lage an der Unterseite der Blätter.

Die gleichen Erscheinungen konnten wir bei anderen Microsphaera-Arten beobachten. So sind die Anhängsel von M. friesti Lév., M. astragali (DC. ex Mérat) Trevisan und M. divaricata (Wallr. ex. Link) Lév. blattoberseits dem Blatt mehr oder weniger anliegend, blattunterseits vom Blatt abstehend, d. h., herabhängend, und außerdem sind letztere länger und stärker verzweigt (vgl. Tabelle III, 1–15).

An befallenen Eichenblättern, die nach eingangs erwähnter Methode umgedreht worden waren, zeigte sich, daß Fruchtkörper, die auf der Blattoberseite angelegt waren, sich wie echte "Hypophylla"-Fruchtkörper entwickelten und umgekehrt (vgl. Tabelle III, 16–22).

Der Vergleich der Asci und Ascosporen hat gezeigt, daß Größe und Anzahl der Sporenschläuche und Sporen nicht nur von Blatt zu Blatt, sondern von Befallsherd zu Befallsherd starken Schwankungen ausgesetzt ist. Ein statistisches Erfassen der Unterschiede an und in Fruchtkörpern von der Blattoberseite im Vergleich mit solchen von der Blattunterseite muß aber sinnlos erscheinen, solange nicht alle ökologischen Einflüsse gemessen und reproduziert werden können.

Dennoch läßt sich sagen, daß Zahl und Abmessungen der Asci und Sporen bei *M. alphitoides* und *M. hypophylla* keine größeren Abweichungen voneinander zeigen, als dies innerhalb anderer Arten zu beobachten ist. Dasselbe gilt auch für den Durchmesser der Perithezien (vergl. Tabelle III).

Auf der Grundlage der vorangegangenen, vergleichenden Untersuchungen schlage ich deshalb vor, den Namen *Microsphaera hypophylla* Nevodovskij als Synonym von *Microsphaera alphitoides* Griffon et Maublanc zu betrachten.

Zusammenfassung

Vergleichend-anatomische und morphologische Untersuchungen an Microsphaera alphitoides Griff. et Maubl. und M. hypophylla Nevodovskij haben gezeigt, daß die unterschiedlichen Lebensbedingungen, die auf der Ober- und der Unterseite der Blätter der Wirtspflanzen herrschen, zu verschiedenartiger Entwicklung des Parasiten führt. Durch zusätzliche Paralleluntersuchungen an anderen Mehltauarten und mittels einer neuen experimentellen Methode konnte nachgewiesen werden, daß M. hypophylla Nevodovskij lediglich als Synonym von M. alphitoides Griff, et Maubl. anzusehen ist.

Résumé

Des observations comparées, anatomiques et morphologiques, effectuées sur la Microsphaera alphitoides Griff. et Maubl. et la Microsphaera hypophylla Nevodovskij ont apporté la preuve que les différentes conditions écologiques qui règnent sur les surfaces supérieure et inférieure des feuilles parasitées, provoquent un développement différent du champignon. Il ressort d'observations supplémentaires, effectuées parallèlement sur d'autres erysiphacées et par une méthode expérimentale nouvelle, que M. hypophylla Nevodovskij n'est qu'un synonyme de M. alphitoides Griff. et Maubl.

Literaturverzeichnis

- Blumer, S. (1933): Die Erysiphaceen Mitteleuropas mit besonderer Berücksichtigung der Schweiz. In: Beitr. Kryptogamenfl. Schweiz 7 (1): 483 S.
- Blumer, S. (1967): Echte Mehltaupilze (Erysiphaceae). G. Fischer Verlag, Jena, 436 S.
- Buchheim, A. (1924): Zur Kenntnis des Eichenmehltaus. Z. Pflanzenkrankh. 34: 1–11.
- Buchheim, A. (1928): Biologisch-morphologische Untersuchungen an Erysiphaceen. Ber. Dtsch. Bot. Ges. 46: 167–180.
- Nevodovskij, G. S. (1952): (Pilze der UdSSR). Griby SSSR 1 (4) (russ.).
- Robertson, N. & Mc Farlane, J. (1946): The occurence of perithecia of the oak mildew in Britain. Trans. Brit. Mycol. Soc. 29: 219-220.
- Roll-Hansen, F. (1961): Microsphaera hypophylla Nevodovskij (M. silvatia Vlasov), an oak powdery mildew fungus. Medd. Morske Skogforsöksvesen 17 (59): 39-61.
- Speer, E. O. (1961): Bleichung und Färbung von Schnitten durch dunkle Pilzfurchtkörper. Sydowia 21: 316-317.
- Speer, E. O. (im Druck): Untersuchungen zur Morphologie und Systematik der Erysiphaceen. I. Die Gattung Blumeria Golovin und ihre Typusart Erysiphe graminis DC. Sydowia 27, im Druck.
- Vlasov, A. A. (1954): Vozbutideli mučnistoj rosy duba v evropejskoj časti SSSR. Trud. Inst. Lesa 16: 144-77.

Erklärung der Abbildungen

Tafel I

- a) ${\it Microsphaera\ alphitoides},\ {\it Fruchtk\"{e}rper\ ungebleicht},\ {\it undurchsichtig.\ Vergr.\ ca.}\ 400 {\it fach.}$
- b) und c
) $M.\ alphitoides,$ Fruchtkörper, gebleicht; Asci und Sporen sind erkennbar. Vergr. ca. 400
fach.

Tafel II

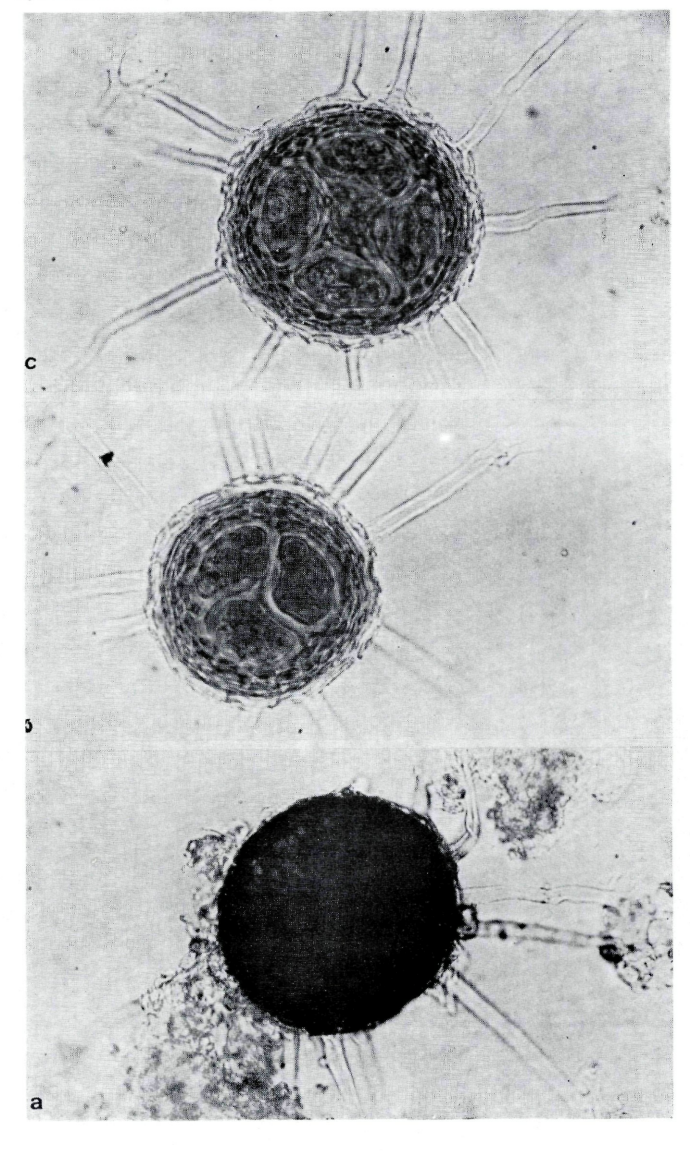
- a) Microsphaera viburni (Duby) Blumer, Fruchtkörper-Längsschnitt.
- b) Microsphaera divaricata (Wallr. ex Link) Lév., Fruchtkörper-Längsschnitt.
- c) $Quercus\ robur\ L.$, Epidermiszelle mit Appressorium und Haustorium von $M.\ alphitoides.$

Tafel III

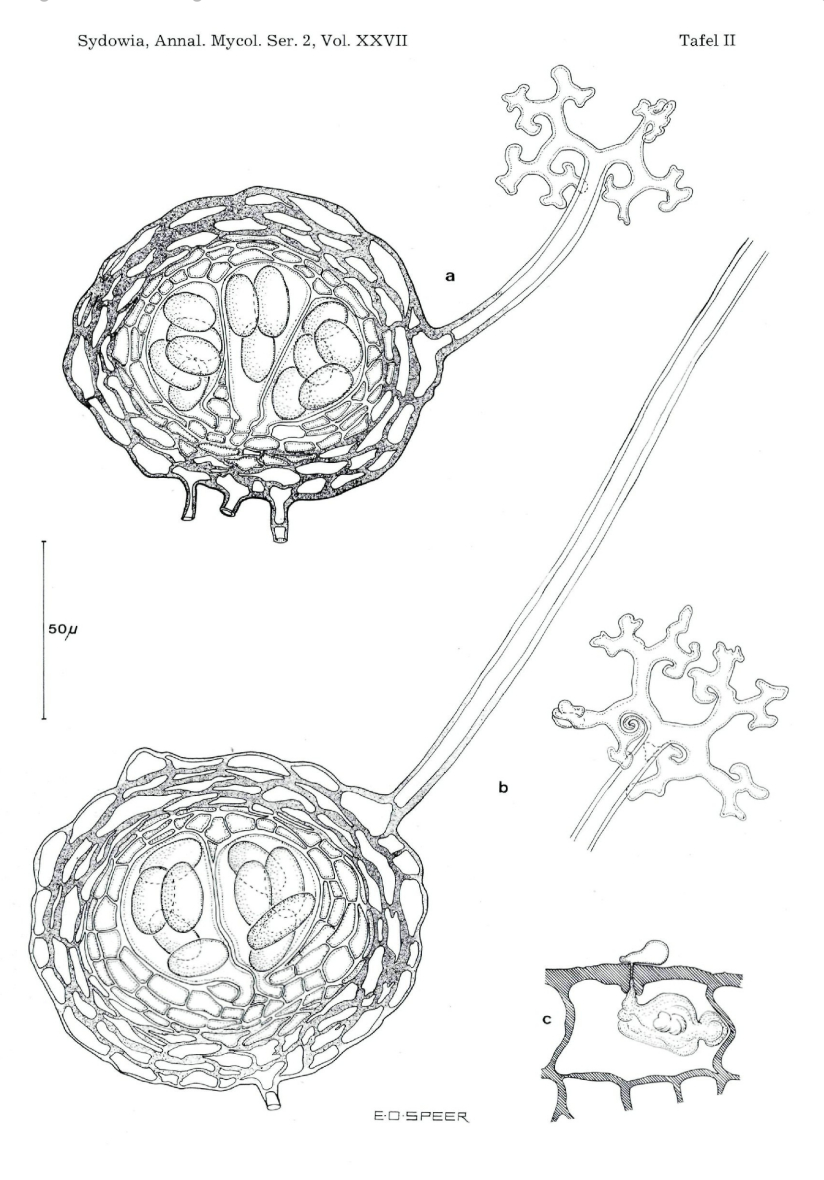
- a) M. alphitoides, Längsschnitt durch einen Fruchtkörper von der Blattoberseite.
- b) M. alphitoides, Längsschnitt durch einen Fruchtkörper von der Blattunterseite.

Sydowia, Annal. Mycol. Ser. 2, Vol. XXVII

Tafel I



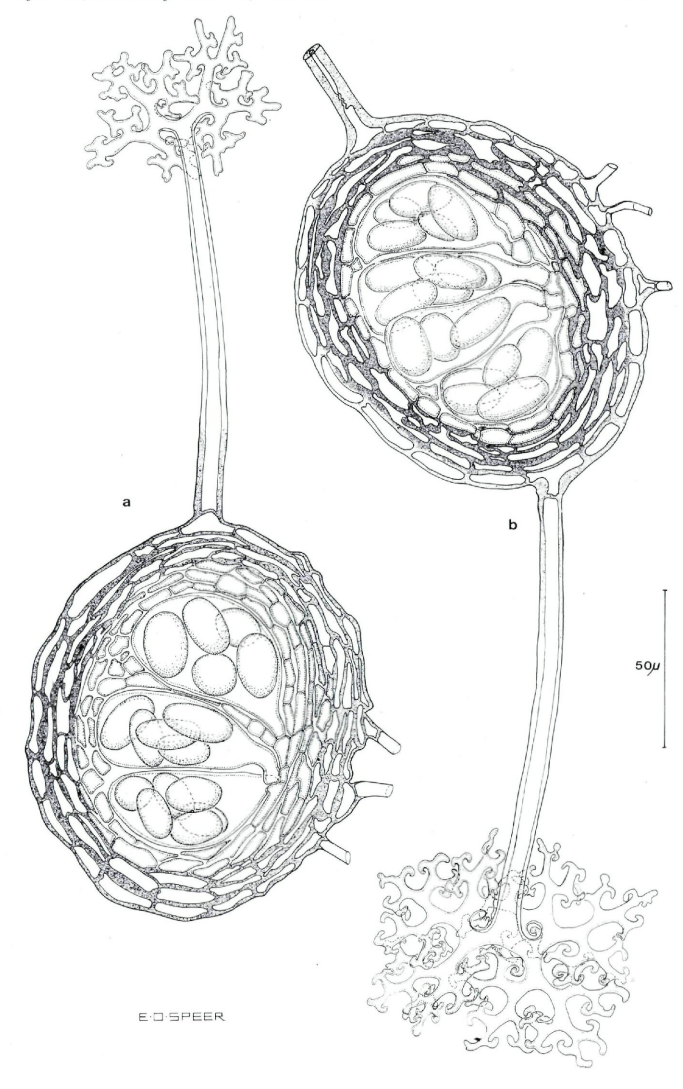






Sydowia, Annal. Mycol. Ser. 2, Vol. XXVII

Tafel III



ZOBODAT - www.zobodat.at

Zoologisch-Botanische Datenbank/Zoological-Botanical Database

Digitale Literatur/Digital Literature

Zeitschrift/Journal: Sydowia

Jahr/Year: 1973/1975

Band/Volume: 27

Autor(en)/Author(s): Speer Eberhard O.

Artikel/Article: Untersuchungen zur Morphologie und Systematik der

Erysiphaceen II. Der Eichenmehltau. Microsphaera alphitoides Griff. et Maubl.

<u>112-126</u>